

Fig. 1

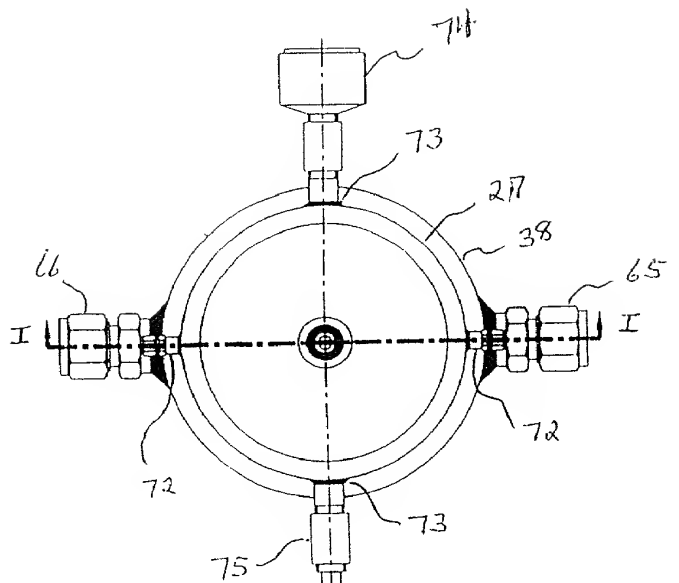


Fig. 2A

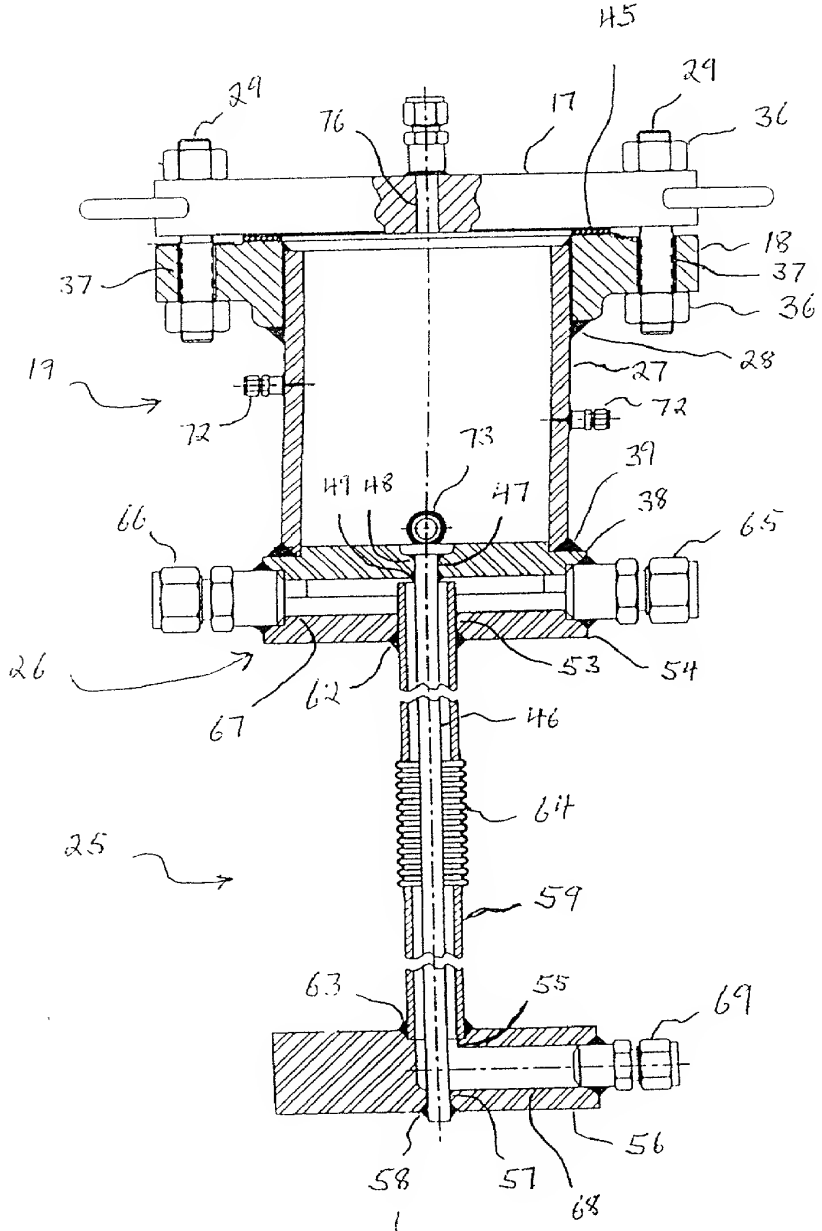


Fig. 2B

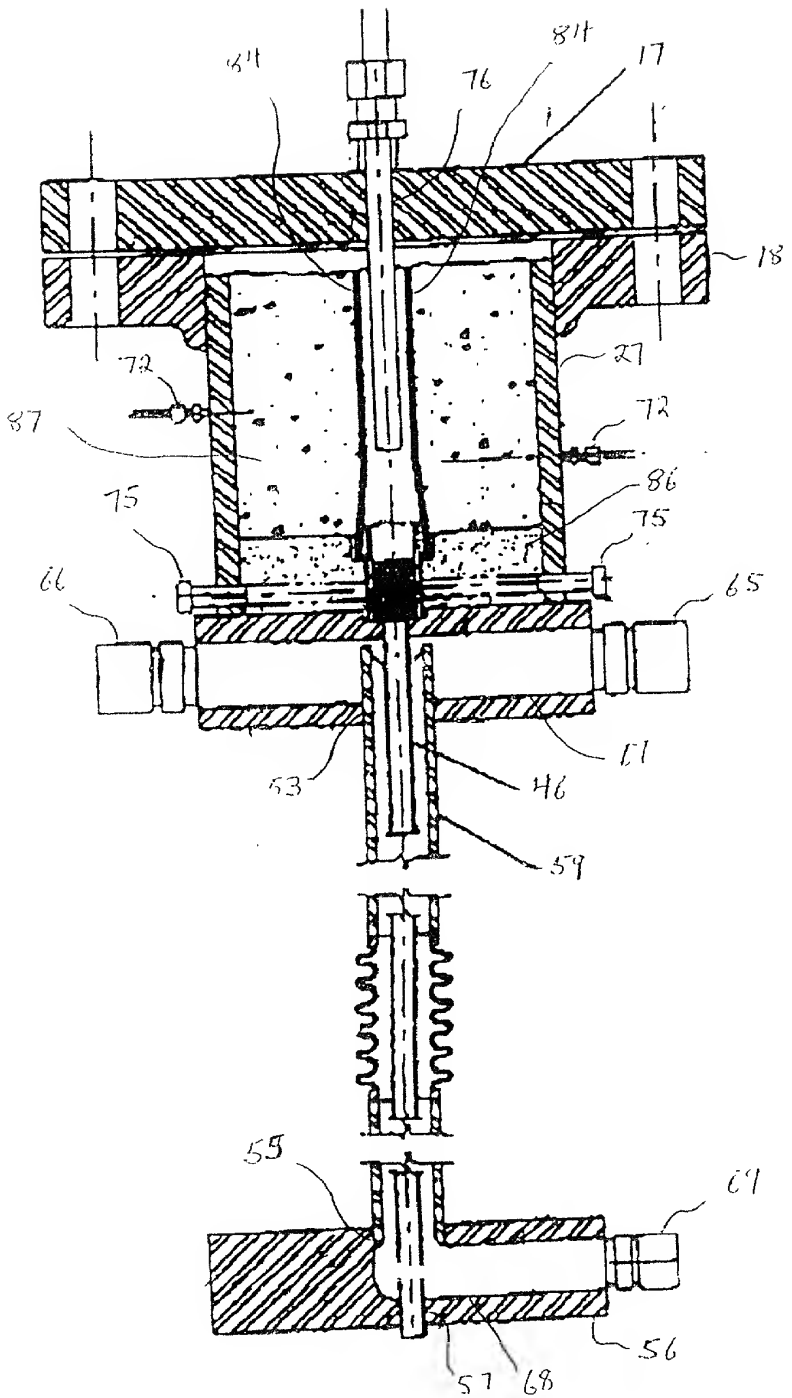


Fig. 3

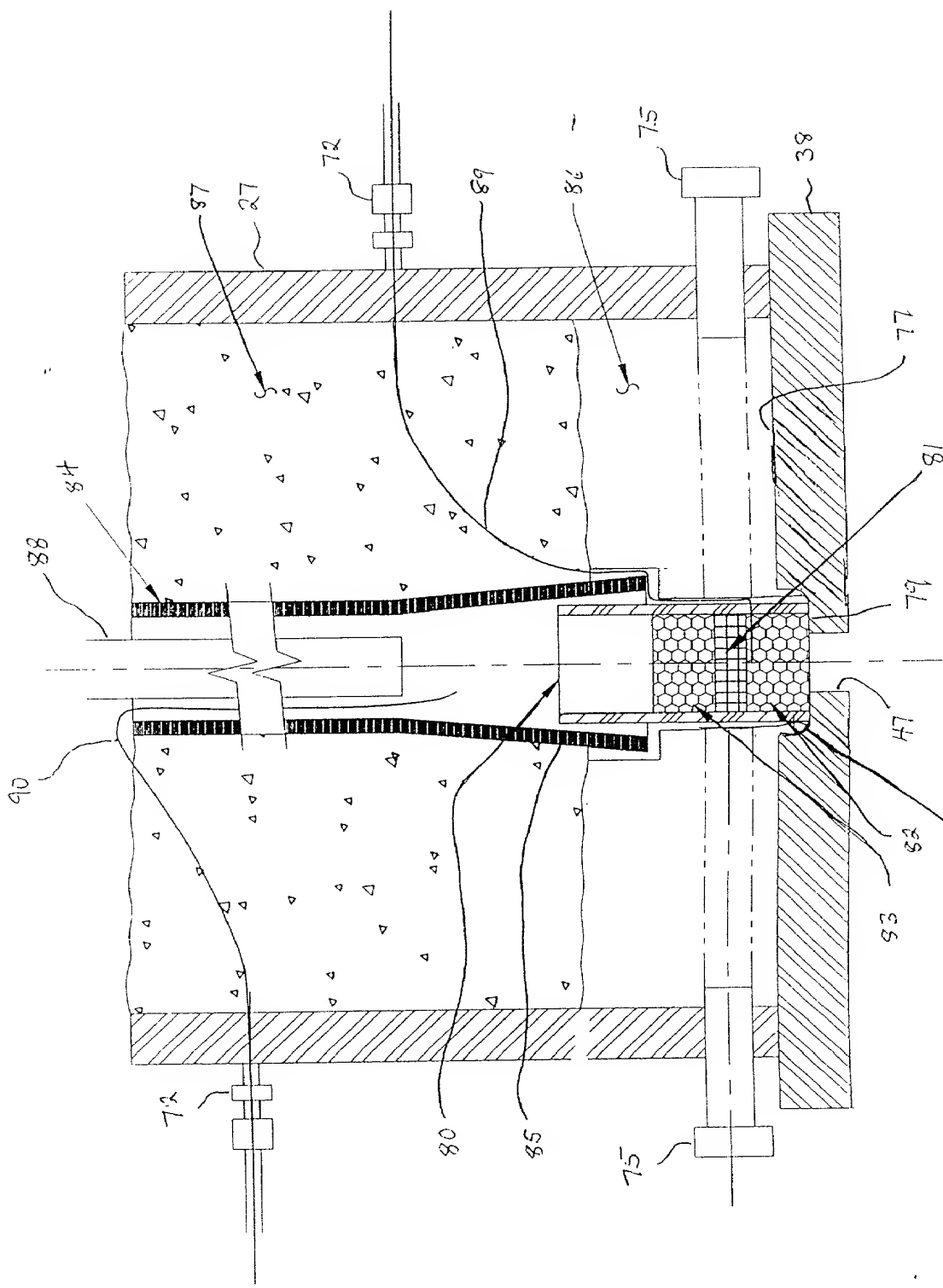


Fig. 4A

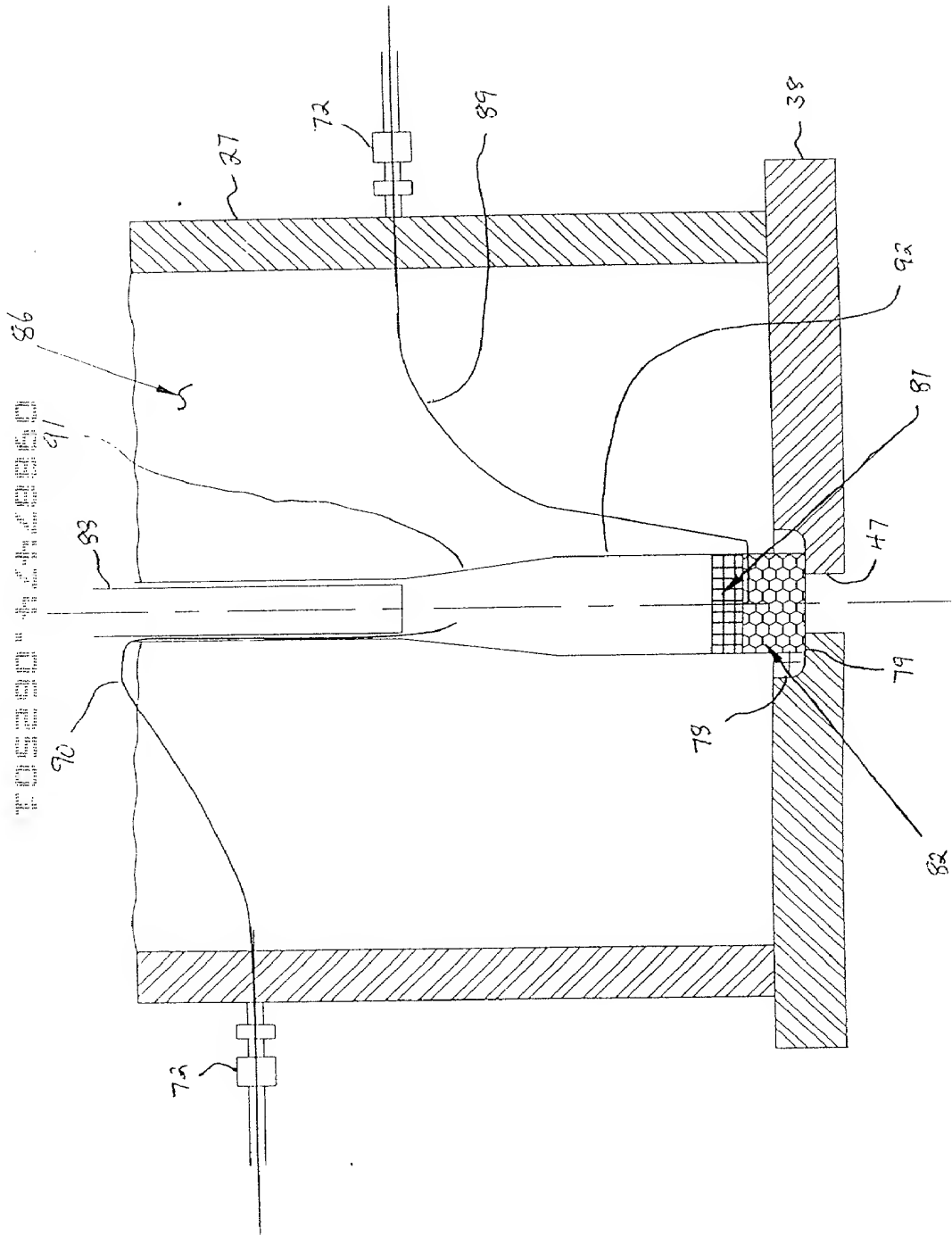


Fig. 4B

90 91 92 93 94 95 96 97 98 99

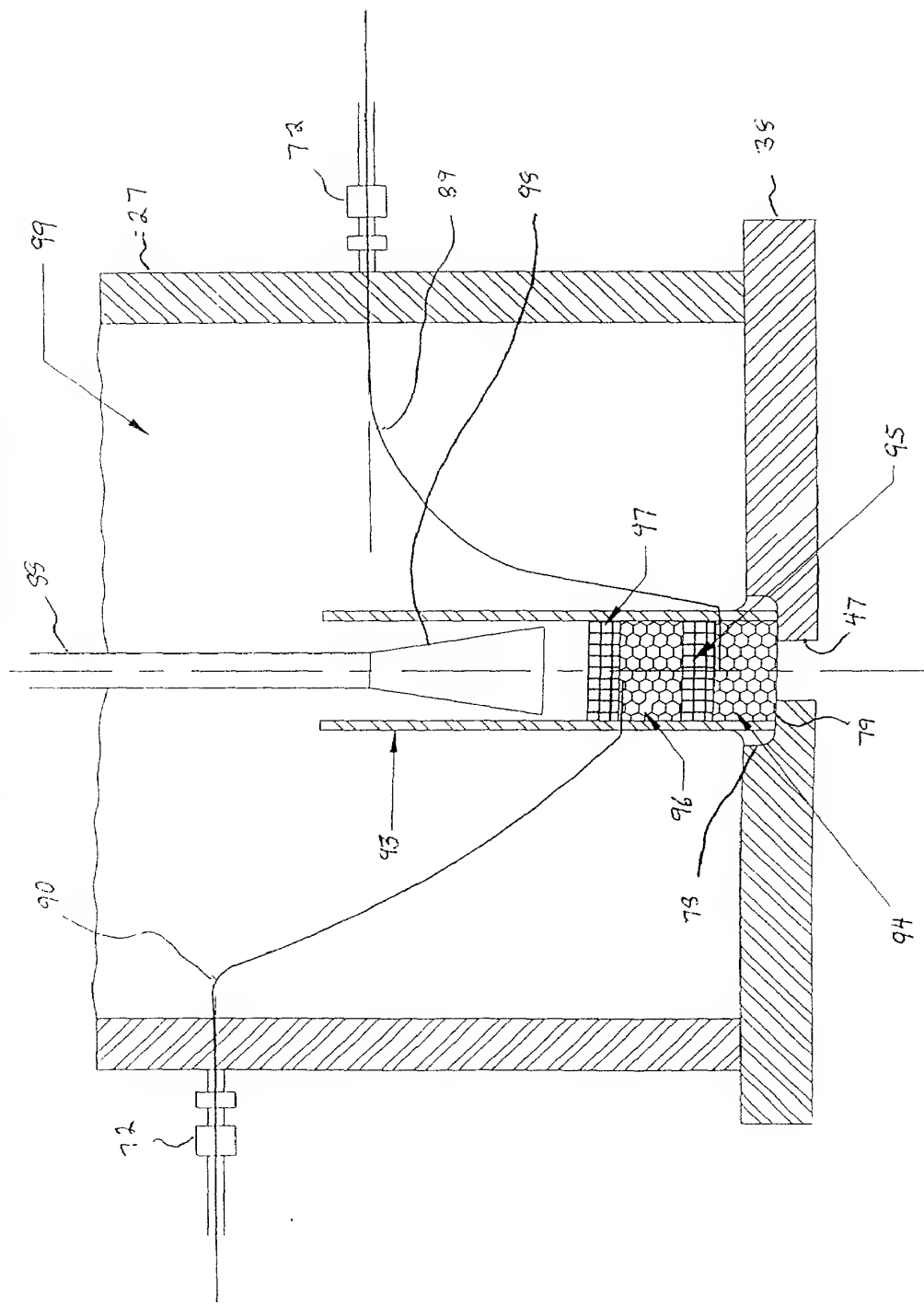


Fig. 4 C

Fig. 4D
Cross-Sectional View

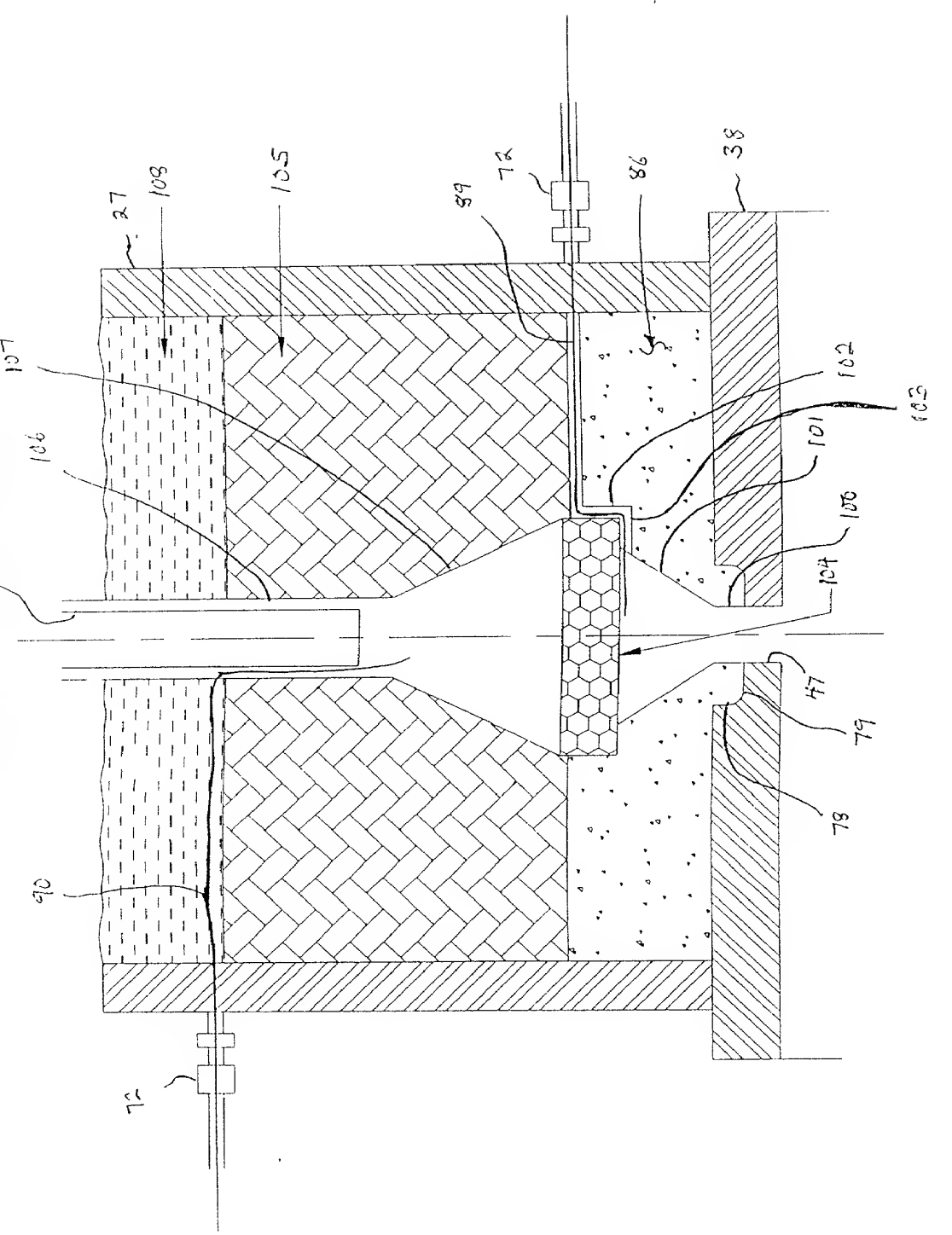


Fig. 4D

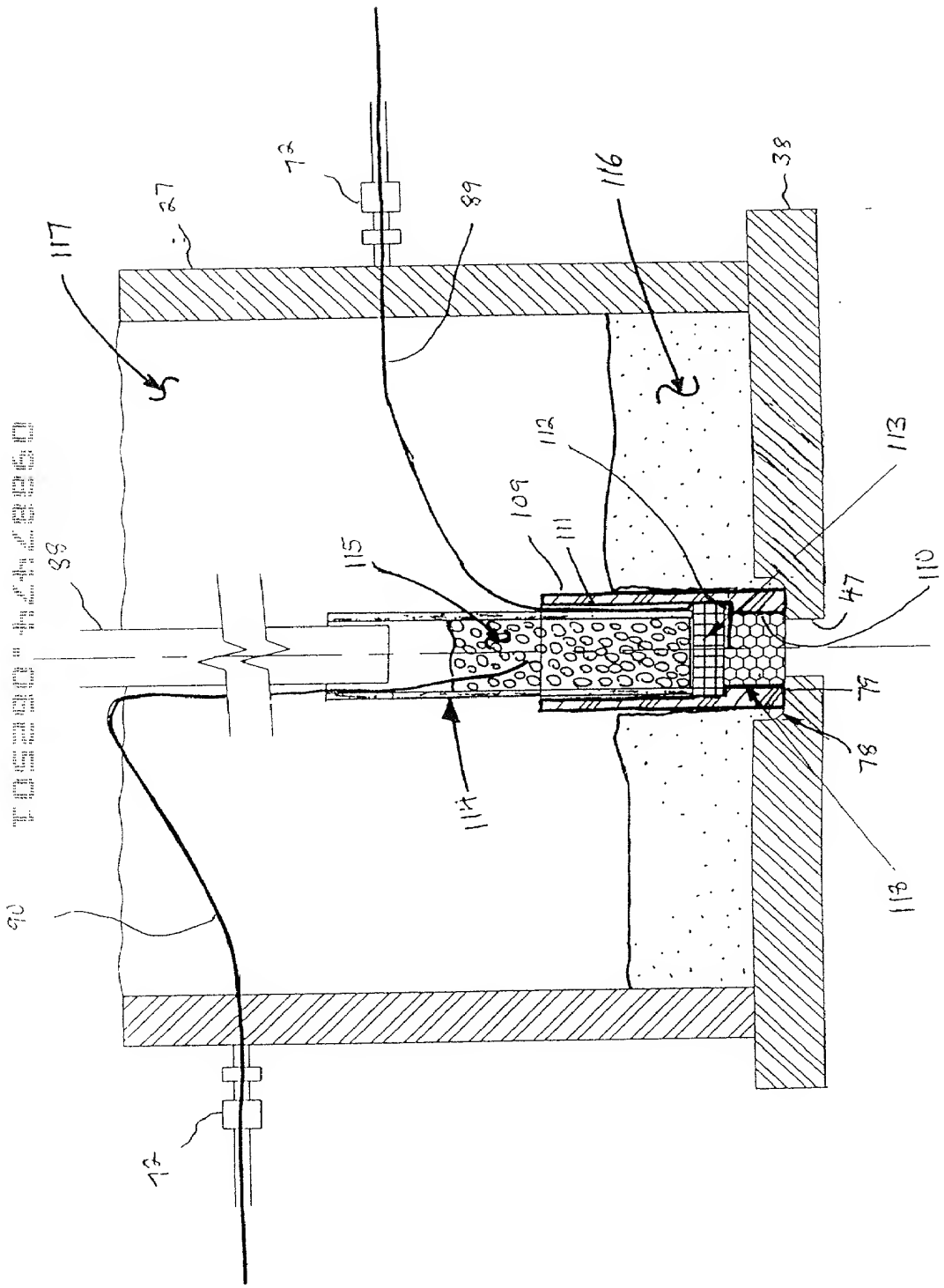


Fig. 4E

Fig. 5B

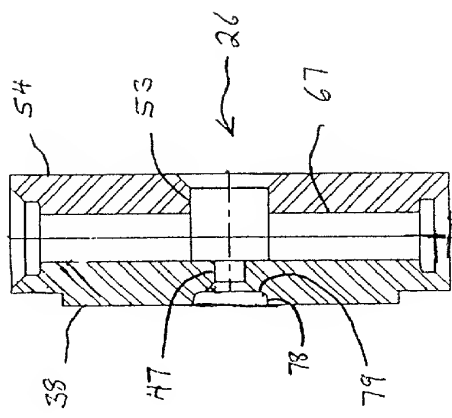


Fig. 5A

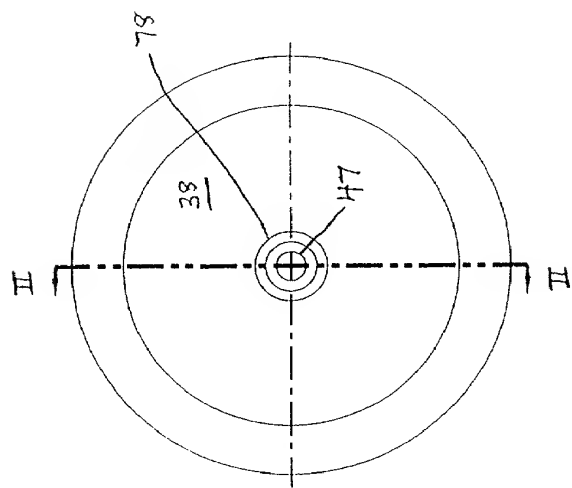


Fig. 6 D

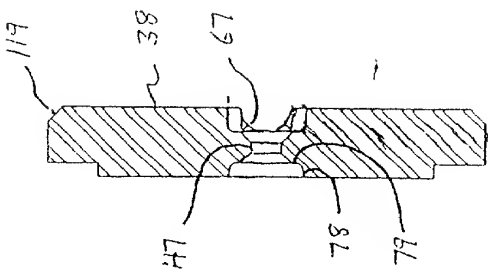


Fig. 6 C

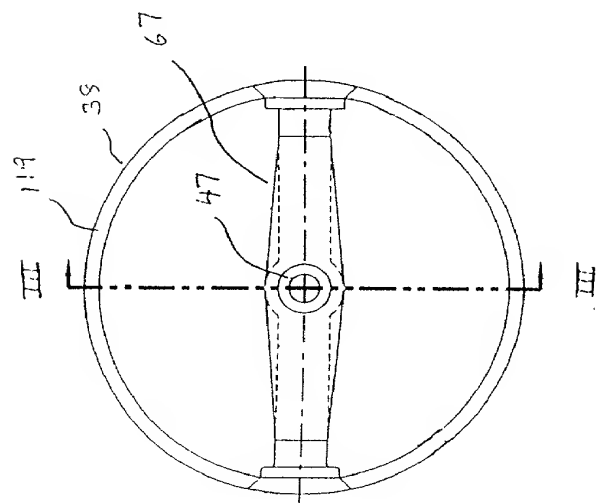


Fig. 6 B

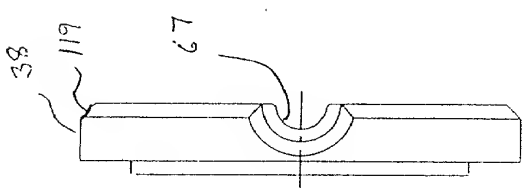


Fig. 6 A

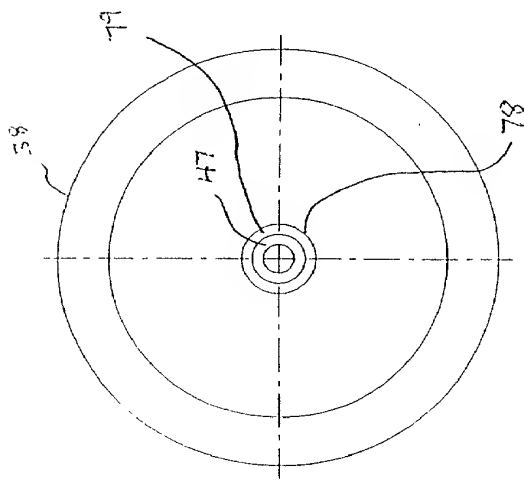


Fig. 7D

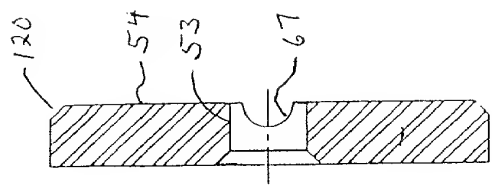


Fig. 7C

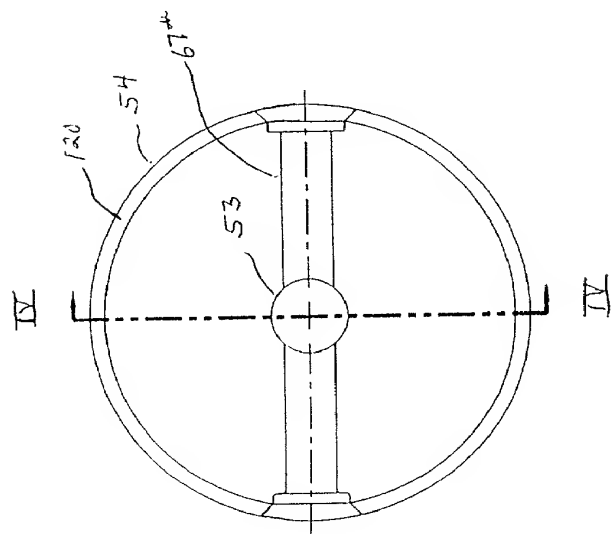


Fig. 7B

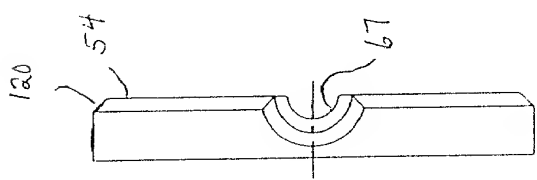
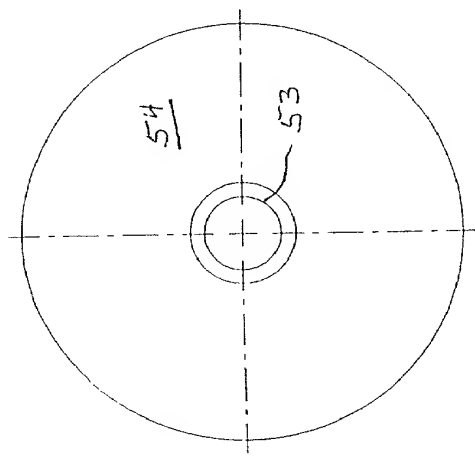


Fig. 7A



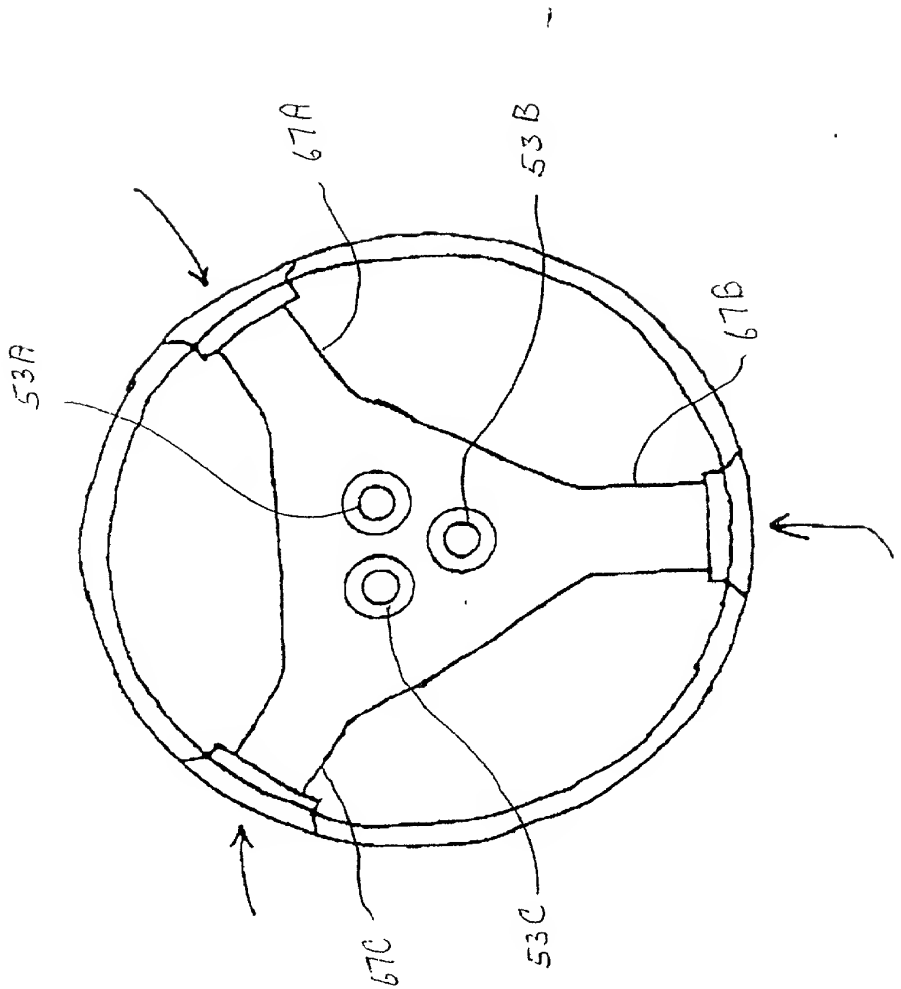


Fig. 8

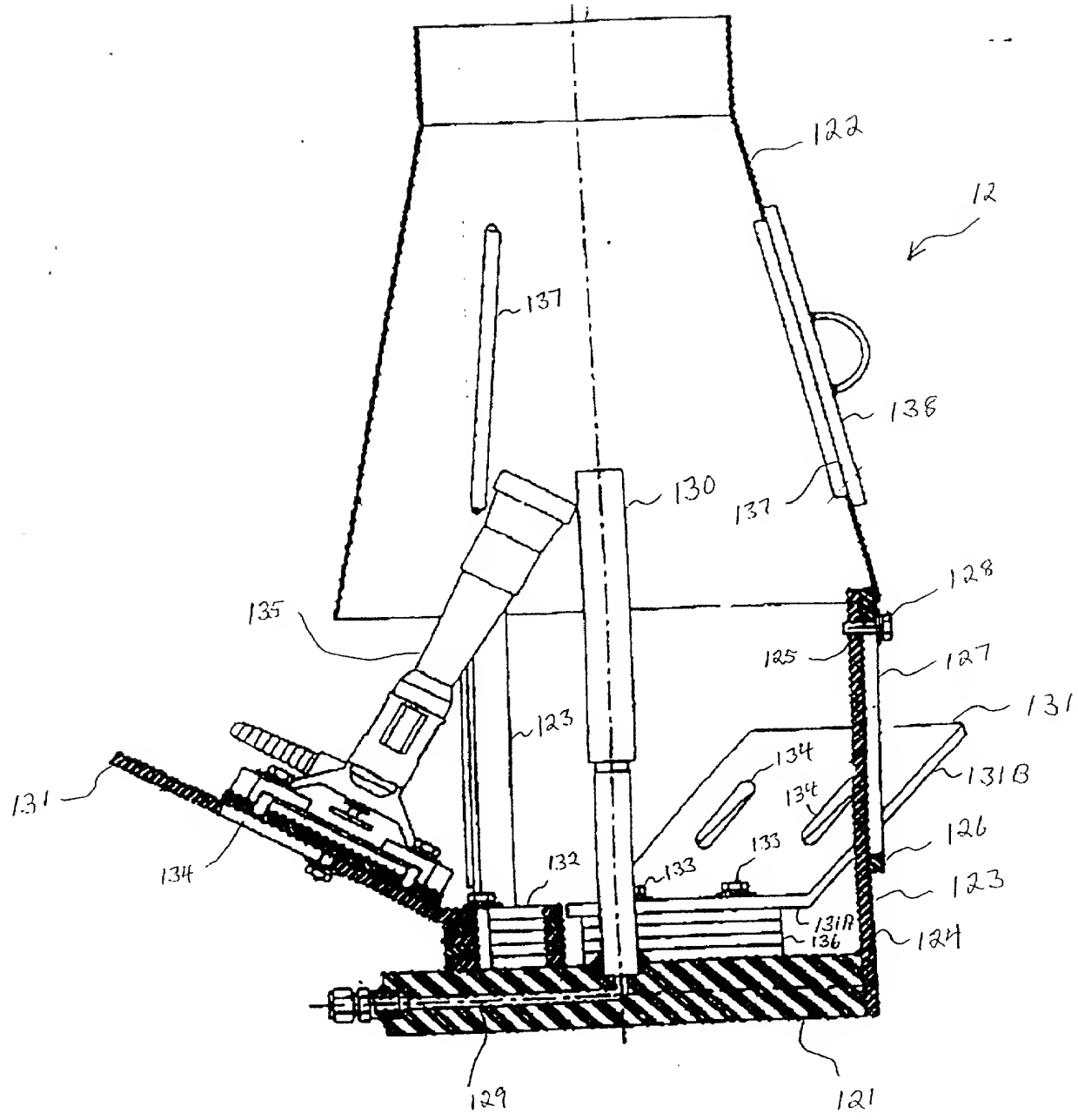


Fig. 9

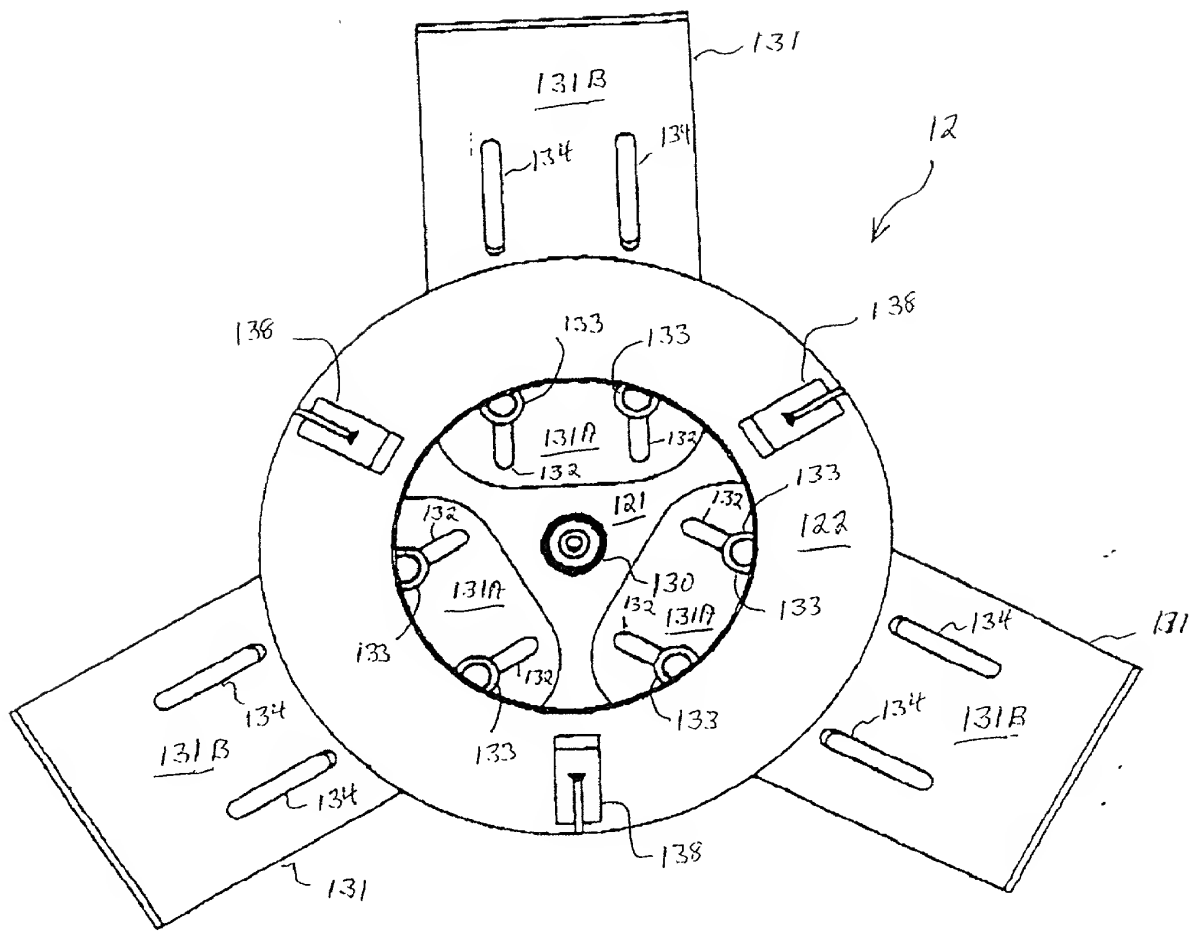


Fig. 10